

**ГИДРАВЛИЧЕСКИЙ ПРЫЖОК
И ПОСЛЕПРЫЖКОВЫЙ УЧАСТОК.
ФОРМЫ СВОБОДНОЙ ПОВЕРХНОСТИ ПОТОКА
В ЦИЛИНДРИЧЕСКИХ РУСЛАХ,
ИМЕЮЩИХ РЕЗКОЕ ИЗМЕНЕНИЕ УКЛОНА ДНА**

§ 8-1. ОБЩИЕ УКАЗАНИЯ. ПОСЛЕПРЫЖКОВЫЙ УЧАСТОК

Будем иметь в виду, как и в предыдущей главе, что движение воды установившееся, безнапорное, турбулентное (отвечающее квадратичной области сопротивления).

В § 7-6 было указано, что бурный поток переходит в спокойный при помощи гидравлического прыжка (рис. 8-1).

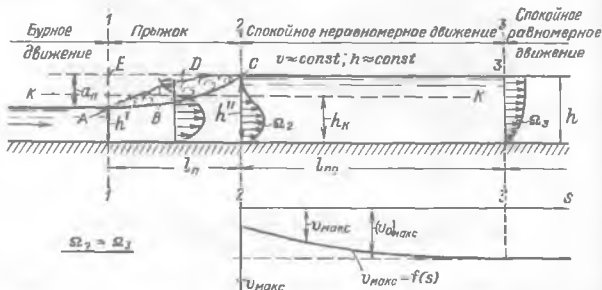


Рис. 8-1. Гидравлический прыжок и послепрыжковый участок. График максимальной допустимой скорости U_{max} (линия К — К располагается к точке А ближе чем к точке В)

Гидравлическим прыжком называется резкое увеличение глубины потока от величины h' , меньшей h_n , до величины h'' , большей h_n .

Величина a_n , показанная на чертеже, называется высотой прыжка, l_n — длиной прыжка. Глубины h и h'' , измеряемые в сечениях 1-1 и 2-2, ограничивающих прыжок, называются сопряженными

Надо помнить, что прыжок появляется всегда, когда при увеличении глубин свободная поверхность пересекает линию критических глубин К — К (имеется только один частный случай, являющийся исключением; см § 14-5).

Поясним характер движения воды в пределах гидравлического прыжка.

В потоке между сечениями 1-1 и 2-2 наблюдается поверхность раздела ABC; ниже этой поверхности струя (транзитная струя) резко расширяется от глубины h' до глубины h'' , выше поверхности раздела ABC имеем поверхностный валец. О самом вальце можно сказать следующее. Валец представляет собой водоворотную область, описанную в § 4-14, он характеризуется весьма беспорядочным движением (см. зону А на рис. 4-27, а), которое, однако, с некоторым приближением можно привести к осредненному водоворотному движению (см. аналогичную картину на рис. 4-27, б). В отличие от

рис 4-27, в случае прыжка имеем безнапорное движение жидкости. Верхняя поверхность ADC вальца получается неровной, волнообразной. Валец насыпшен пузырьками воздуха и потому малопрозрачен.

Благодаря пульсации актуальных скоростей в прыжке через поверхность раздела ABC происходит постоянный обмен жидкости между вальцом и транзитной струей. Все явление прыжка носит бурный характер, причем прыжок не находится на одном месте; он совершает некоторые небольшие поступательные движения то вправо (по течению), то влево (против течения).

В прыжке получается местная потеря напора, относящаяся к случаю безнапорного движения жидкости.¹

Непосредственно за прыжком располагается так называемый послепрыжковый участок потока. Этот участок характеризуется следующим.

В сечении 2—2 за прыжком эпюра осредненных скоростей u имеет вид, показанный на чертеже: скорость u в верхней точке C живого сечения равна нулю; вместе с тем придонные скорости в сечении 2—2 являются большими. Прыжок способствует резкому повышению пульсации актуальных скоростей и давлений; в связи с этим за прыжком получаем поток, который характеризуется интенсивной турбулентностью.

На длине $l_{пн}$ послепрыжкового участка, в пределах между сечениями 2—2 и 3—3, происходит затухание пульсаций до величин, свойственных равномерному движению, а также выравнивание эпюры осредненных скоростей до той формы, которая отвечает также равномерному движению.

Наличие больших придонных осредненных скоростей и повышенная пульсация обуславливают большую размывающую способность потока. Для сечения 3—3, где имеем структуру потока, находящегося в состоянии равномерного движения, максимальную допустимую скорость $(v_0)_{\max}$ можно определить по данным § 6-5, относящимся к равномерному движению. Что же касается сечения 2—2, то здесь благодаря повышенной пульсации и большим придонным скоростям размывы грунта, образующего русло, должны начинаться при меньших средних скоростях, чем в сечении 3—3. Поэтому сечениям 2—2 и 3—3 будут свойственны максимальные допустимые скорости v_{\max} разной величины (хотя средние скорости v в этих сечениях, так же как и глубины h , — примерно одинаковы).

Величина v_{\max} в пределах послепрыжкового участка должна увеличиваться по течению так, как показано на схеме графика, изображенного на рис. 8-1 (внизу). Размывающая же способность потока вдоль послепрыжкового участка должна соответственно уменьшаться от наибольшей величины в сечении 2—2 до размывающей способности, свойственной равномерному движению в сечении 3—3.

Различные авторы для определения длины $l_{пн}$ послепрыжкового участка дают разные эмпирические формулы, выражая обычно величину $l_{пн}$ через глубину h в русле за послепрыжковым участком:

$$l_{пн} \approx (10 - 30)h. \quad (8-1)$$

Закончив на этом описание послепрыжкового участка, который представляет интерес в связи, например, с проектируемым устройством нижнего бьефа плотин, обратимся снова к гидравлическому прыжку, причем рассмотрим его с энергетической точки зрения.

¹ В гл. 5, посвященной напорным трубам, говорилось о местных потерях напора, относящихся к случаю напорного движения. При безнапорном движении, помимо местной потери напора в прыжке, различают еще местные потери напора: «на поворот потока», при местном расширении потока и т. п.

Представим на рис. 8-2 гидравлический прыжок, получающийся при истечении воды из-под шита Щ. Кривая свободной поверхности ab является кривой типа c_0 ; кривая свободной поверхности cd является кривой типа b_0 . Эти две кривые, одна из которых отвечает бурному движению, а другая — спокойному, сопрягаются прыжком bc .

Представим на рис. 8-2 (справа) кривую удельной энергии сечения, отвечающую заданному руслу и заданному расходу. Точки a', b', c', d' кривой $\mathcal{E} = f(h)$ отвечают точкам a, b, c, d свободной поверхности потока. При

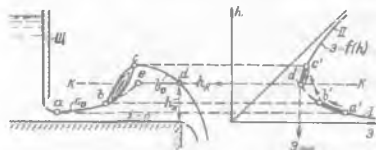


Рис. 8-2. Энергетическая интерпретация гидравлического прыжка

Прыжок показан в искаженном масштабе: горизонтальные размеры его сильно преуменьшены

движении вдоль потока от точки a до точки d мы перемещаемся по кривой $\mathcal{E} = f(h)$, следуя по пути $a'b'c'd'$ (показан на графике стрелками). В точке b' (отвечающей точке b) осуществляется переход с I ветви кривой $\mathcal{E} = f(h)$ на II ветвь, причем мы попадаем в точку c' (отвечающую точке c). В конце потока получается минимум \mathcal{E} (см. точки d' и d), а следовательно, здесь устанавливается критическая глубина.

Если бы мы допустили, что прыжок в природе отсутствует, то кривая ab в некоторой точке e подошла к линии $K-K$, поток в этом месте получил бы минимальную возможную энергию, причем дальнейшее движение жидкости было бы невозможно (в связи с отсутствием того запаса энергии, который должен затрачиваться на работу сил трения при дальнейшем движении жидкости).

В заключение заметим, что вопрос о гидравлическом прыжке впервые был исследован (в прошлом столетии) Бидоне, Беланже и Бусинеском. Последний автор, используя теорему о количестве движения, нашел уравнение, связывающее сопряженные глубины h' и h'' . Такое уравнение получило название основного уравнения прыжка.

§ 8-2. ОСНОВНОЕ УРАВНЕНИЕ ГИДРАВЛИЧЕСКОГО ПРЫЖКА

Будем рассматривать случай, когда прыжок устанавливается в достаточно длинном цилиндрическом русле, имеющем прямоугольное или близкое к прямоугольному поперечное сечение.¹

Так как прыжок имеет относительно малую длину, то падением дна русла на этой длине при малых значениях i часто можно пренебречь и считать, что дно русла в пределах прыжка — горизонтально, т. е. $i = 0$ (это положение следует рассматривать как первое допущение, делаемое при выводе основного уравнения прыжка).

Представим на рис. 8-3 схему продольного разреза прыжка, причем ось s наметим, как указано на чертеже. В сечении AB потока имеем плавно изменяющееся движение; в сечении CD движение является не вполне плавно изменяющимся, однако будем считать при выводе искомого уравнения, что и в этом сечении движение является плавно изменяющимся (второе допущение).

¹ В случае, например, трапециевидального русла возникают боковые водоворотные области, причем качественная сторона протекания воды в пределах прыжка несколько изменяется.

Наша задача состоит в том, чтобы найти аналитическую связь между сопряженными глубинами h' и h''

Для решения этой задачи прилагается уравнение количества движения (3-124) к отсеку жидкости $ABCD$:

$$\alpha_0 \rho Q (v_2 - v_1) = T_{0s} + G_s + R_s + P_s, \quad (8-2)$$

где v_1 и v_2 — средние скорости в живых сечениях AB и CD ; T_{0s} — проекция силы внешнего трения, приложенной к отсеку $ABCD$, на ось s ; силой T_{0s} пренебрегаем ввиду ее малости сравнительно с другими силами (третье допущение):

$$T_{0s} = 0; \quad (8-3)$$

G_s — проекция веса рассматриваемого отсека на ось s ; R_s — проекция реакции дна на ось s .

$$G_s = 0, \quad R_s = 0; \quad (8-4)$$

P_s — проекция на ось s сил давления, действующих на рассматриваемый отсек со стороны окружающей жидкости; с учетом 2-го допущения, предусматривающего распределение давления в сечении 2-2 по гидростатическому закону, величина P_s может быть записана в виде

$$P_s = P_1 - P_2 = \omega_1 y_1 \gamma - \omega_2 y_2 \gamma. \quad (8-5)$$

Здесь P_1 и P_2 — силы, указанные на чертеже, они приложены в центре давления (ЦД) сечений; ω_1 и ω_2 — площади живых сечений AB и CD , y_1 и y_2 — заглубления под уровнем жидкости соответственно центра тяжести (ЦТ) сечения AB и центра тяжести (ЦТ) сечения CD ; $y_1 \gamma$ и $y_2 \gamma$ — гидродинамические давления в центрах тяжести сечений AB и CD

Учитывая (8-3), (8-4) и (8-5), вместо (8-2) получаем

$$\alpha_0 \frac{\rho}{\gamma} Q \left(\frac{Q}{\omega_2} - \frac{Q}{\omega_1} \right) = \omega_1 y_1 - \omega_2 y_2, \quad (8-6)$$

или дополнительно, учитывая, что $\frac{\rho}{\gamma} = \frac{1}{g}$,

$$\boxed{\frac{\alpha_0 Q^2}{g \omega_2} + \omega_2 y_2 = \frac{\alpha_0 Q^2}{g \omega_1} + \omega_1 y_1.} \quad (8-7)$$

Уравнение (8-7) и называется основным уравнением прыжка (для достаточно длинного цилиндрического русла с небольшим уклоном дна отмеченного выше поперечного сечения). При выводе этого уравнения корректив количества движения α_0 для сечений AB и CD был принят одинаковым: $\alpha_0 = \alpha_{02} = \alpha_0$ (четвертое допущение). Заметим, однако, что в сечении CD корректив α_{02} , в связи со значительной неравномерностью распределения осредненных скоростей (см. рис. 8-1) и интенсивной пульсации скоростей в этом сечении, может значительно отличаться от $\alpha_{01} \approx 1,0$.

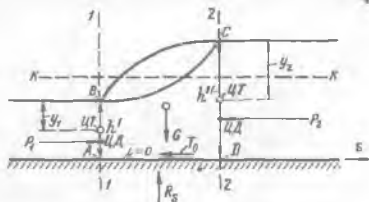


Рис. 8-3 Схема гидравлического прыжка

**§ 8-3. ПРЫЖКОВАЯ ФУНКЦИЯ.
ОПРЕДЕЛЕНИЕ ОДНОЙ ИЗ СОПРЯЖЕННЫХ ГЛУБИН
ПО ЗАДАННОЙ ДРУГОЙ СОПРЯЖЕННОЙ ГЛУБИНЕ**

Положим, что русло и расход нам заданы (рис. 8-4, а). При этом условии левая часть уравнения (8-7) представляет собой некоторую функцию только от глубин h' ; правая же часть данного уравнения является такой же точно функцией только от глубин h .

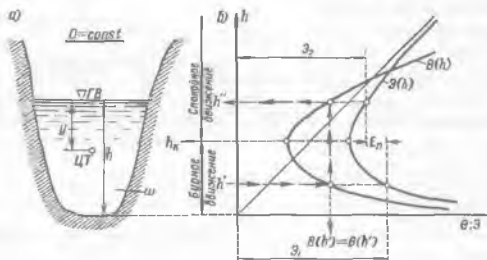


Рис. 8-4. График прыжковой функции $\Theta(h)$

Учитывая сказанное, введем обозначение:

$$\frac{\alpha_0 Q^2}{g\omega} + y\omega = \Theta(h), \quad (8-8)$$

где h — глубина в данном сечении; ω и y — соответствующие величины, отвечающие этой глубине.

Функция $\Theta(h)$ называется прыжковой функцией. Размерность ее — длина в кубе (например, м^3).

Пользуясь обозначением (8-8), основное уравнение прыжка (8-7) можно переписать в виде

$$\Theta(h') = \Theta(h''), \quad (8-9)$$

где $\Theta(h')$ — значение прыжковой функции, отвечающее глубине h' ; $\Theta(h'')$ — значение прыжковой функции, отвечающее глубине h'' .

Из (8-9) видно, что сопряженные глубины обладают следующим свойством: для сопряженных глубин прыжковая функция имеет одну и ту же величину. Этим свойством и пользуются при отыскании одной сопряженной глубины, когда другая задана.

В литературе приводится подробное исследование функции $\Theta(h)$. Из этого исследования вытекает, что $\Theta(h)$ может быть выражена кривой $\Theta(h)$, показанной на рис. 8-4. Как видно, эта кривая обладает следующими свойствами:

- а) минимум кривой $\Theta(h)$ совпадает (если $\alpha \approx \alpha_0$) с минимумом кривой $\mathcal{E}(h)$ удельной энергии сечения и отвечает глубине $h = h_k$;
- б) при $h \rightarrow 0$ величина Θ стремится к бесконечности;
- в) при $h \rightarrow \infty$ величина Θ стремится к бесконечности.

Пользуясь этой кривой, можно по заданной глубине h' найти глубину h'' и, наоборот, зная h'' — найти глубину h' . Из рис. 8-4 видно, что если глубина

h' уменьшается, то сопряженная с ней глубина h'' увеличивается (и наоборот). Отметим, что линия критических глубин $K - K$ всегда пересекает прыжок, причем h_x несколько меньше величины, равной $0,5(h' + h'')$.

Для определения сопряженных глубин можно пользоваться приближенными формулами А. Н. Рахманова:

$$\xi' = \frac{1,7}{\xi''} - 0,2; \xi'' = \frac{1}{0,167 + 0,834\xi'}, \quad (8-10)$$

где ξ' и ξ'' — относительные глубины:

$$\xi' = \frac{h'}{h_x}; \xi'' = \frac{h''}{h_x}. \quad (8-11)$$

Эти полуэмпирические формулы при $\xi'' \leq 5$ дают обычно погрешность менее 7%.

§ 8-4. ОСНОВНОЕ УРАВНЕНИЕ ПРЫЖКА В ПРЯМОУГОЛЬНОМ ЦИЛИНДРИЧЕСКОМ РУСЛЕ

В случае прямоугольного цилиндрического русла основное уравнение прыжка (8-7) упрощается.

Для прямоугольного русла имеем

$$\omega = bh; y = \frac{h}{2}; q = \frac{Q}{b}; Q = qb, \quad (8-12)$$

где q — удельный (или единичный) расход

Прыжковая функция для прямоугольного русла выразится в виде

$$\Theta(h) = \frac{\alpha_0 Q^2}{g\omega} + y\omega = \frac{\alpha_0 q^2 b^2}{gbh} + \frac{h}{2} bh \quad (8-13)$$

или

$$\Theta(h) = b \left(\frac{\alpha_0 q^2}{gh} + \frac{h^2}{2} \right). \quad (8-14)$$

Рассматривая теперь 1 м ширины прямоугольного русла, введем понятие удельной, или единичной, прыжковой функции, т. е. прыжковой функции, отнесенной к единице ширины потока,

$$\theta(h) = \frac{\Theta(h)}{b}. \quad (8-15)$$

При этом вместо (8-9) можем написать

$$\theta(h') = \theta(h''). \quad (8-16)$$

Учитывая (8-14) и (8-15), видим, что

$$\theta(h) = \frac{\alpha_0 q^2}{gh} + \frac{h^2}{2}. \quad (8-17)$$

Имея в виду, что

$$h_x^3 = \frac{\alpha_0 q^2}{g}, \quad (8-18)$$

получаем (при $\alpha \approx \alpha_0$)

$$\theta(h) = \frac{h_x^3}{h} + \frac{h^2}{2}. \quad (8-19)$$

Используя (8-19), формулу (8-16) представим в виде

$$\frac{h_x^3}{h'} + \frac{h^2}{2} = \frac{h_x^3}{h''} + \frac{h'^2}{2}, \quad (8-20)$$

откуда

$$h_x^3 \left(\frac{1}{h'} - \frac{1}{h''} \right) = \frac{h'^2 - h^2}{2}, \quad (8-21)$$

или

$$2h_x^3 = \frac{h'^2 - h^2}{\frac{1}{h'} - \frac{1}{h''}}, \quad (8-22)$$

или

$$h'h''(h' + h'') = 2h_x^3. \quad (8-23)$$

Решая это уравнение относительно h' и h'' , получаем

$$h' = \frac{h''}{2} \left[\sqrt{1 + 8 \left(\frac{h_x}{h''} \right)^3} - 1 \right]; \quad (8-24)$$

$$h'' = \frac{h'}{2} \left[\sqrt{1 + 8 \left(\frac{h_x}{h'} \right)^3} - 1 \right]. \quad (8-25)$$

Уравнение (8-24) позволяет найти h' , если задано h'' ; уравнение (8-25) — найти h'' , если задано h' . Как видно, в случае прямоугольного русла глубины h' и h'' находятся непосредственно без предварительного построения графика прыжковой функции.

В формулу (8-24) вместо выражения $8 \left(\frac{h_x}{h''} \right)^3$ можно ввести величину

$$8 \left(\frac{h_x}{h''} \right)^3 = 8 \frac{1}{h''^3} \frac{\alpha q^2}{g} = \frac{8\alpha q^2}{gh''^3} = \frac{8\alpha \xi^2}{g h''^3}; \quad (8-26)$$

аналогично можно поступить и с формулой (8-25).

Зависимости (8-24) и (8-25) можно представить также и в относительных величинах. С этой целью разделим (8-23) на h_x^3 , в результате получаем

$$\xi' \xi'' (\xi' + \xi'') = 2, \quad (8-27)$$

где ξ' и ξ'' определяются (8-11).

Решая (8-27) относительно ξ' , вместо (8-24) имеем

$$\xi' = \frac{\xi''}{2} \left(\sqrt{1 + \frac{8}{\xi''^3}} - 1 \right). \quad (8-28)$$

По этому уравнению А. А. Угинчусом был построен расчетный график. Пользуясь таким графиком (приводимым в литературе), можно определять одну из взаимных глубин, зная другую взаимную глубину, не прибегая к вычислениям по формуле (8-24) или (8-25). Вместо формул (8-24) и (8-25) можно пользоваться также формулами Рахманова (8-10), которые при $\xi'' < (3 \div 3,5)$ дают здесь высокую точность.

§ 8-5. ДЛИНА СВОБОДНОГО ПРЫЖКА В ПРЯМОУГОЛЬНОМ ГОРИЗОНТАЛЬНОМ РУСЛЕ. ПОТЕРИ ЭНЕРГИИ В ПРЫЖКЕ

Выше мы рассматривали высотные элементы прыжка. Вместе с тем при проектировании, например плотин (при расчете нижнего бьефа), приходится интересоваться и длиной прыжка l_n (рис. 8-1). Однако вопрос об этом размере до сего времени не получил даже приближенного теоретического решения. Различные авторы предложили для практического определения длины l_n разные чисто эмпирические формулы (в литературе опубликовано около четырех десятков таких формул).

При сопоставлении этих формул, проведенном в последнее время, выяснилось, что в длинах прыжка, вычисленных по ним, получается большое расхождение. В связи с этим в настоящее время приходится рекомендовать из числа упомянутых экспериментальных формул ту зависимость, которая, с одной стороны, является наиболее простой и, с другой стороны, дает примерно средние значения l_n (среди тех, которые получаются по разным экспериментальным формулам, имеющимся в литературе).

В качестве именно таких зависимостей приведем здесь следующие:

а) формулу Павловского (1937 г.)

$$l_n = 2,5(1,9h'' - h'); \quad (8-29)$$

б) формулу Сафрвиеца (1927 - 1930 гг.)

$$l_n = 4,5h''; \quad (8-30)$$

в) формулу Бахметева и Матцке (1936 г.)

$$l_n = 5a_{np} = 5(h'' - h'). \quad (8-31)$$

В пределах прыжка, где имеется водоворотная область в виде поверхностного вальца, получается относительно большая потеря напора (см. § 4-14). Поэтому удельная энергия транзитной струи в пределах прыжка резко уменьшается по течению; уменьшение же удельной энергии для бурного потока [см., например, кривую $\mathcal{E} = f(h)$ на рис. 8-4, б] обуславливает резкое расширение струи.

Для горизонтального русла (при $i = 0$) потеря напора (потеря удельной энергии) в прыжке будет

$$E_n = \left(h' + \frac{\alpha v_1^2}{2g} \right) - \left(h'' + \frac{\alpha v_2^2}{2g} \right); \quad (8-32)$$

Эту величину можно найти также по графику на рис. 8-4, б, где помимо кривой прыжковой функции, нанесена еще кривая удельной энергии сечения \mathcal{E} .

В случае прямоугольного русла формула (8-32) приводится к виду

$$E_n = \frac{a_n^3}{4hk''}; \quad (8-33)$$

рассматривая эту зависимость, можно показать, что потеря энергии в прыжке прямо пропорциональна примерно третьей степени высоты прыжка; следовательно, E_n сильно растет с увеличением высоты прыжка.

§ 8-6. ОСОБЫЕ ВИДЫ ГИДРАВЛИЧЕСКОГО ПРЫЖКА. ДОПОЛНИТЕЛЬНЫЕ ЗАМЕЧАНИЯ

С явлением прыжка весьма часто встречаемся в практике, в частности, при строительстве плотин; здесь приходится сталкиваться иногда с гидравлическими прыжками особого вида:

а) с так называемым затопленным прыжком (см. далее, например, рис. 12-42):

б) с так называемым несвободным прыжком, который получается в недостаточно длинном русле, например, в особом колодце, устраиваемом за плотиной (этот колодец стесняет развитие горизонтальных размеров прыжка, причем длина его получается относительно небольшой).

Можно сказать, что выше мы ограничивались рассмотрением только свободного незатопленного прыжка в правильном призматическом русле (имеющем поперечное сечение, близкое к прямоугольному) с уклоном $i = 0$.

При малой разнице сопряженных глубин h' и h'' сила $P_s = P_1 - P_2$, входящая в уравнение (8-2), получается относительно небольшой. В этом случае

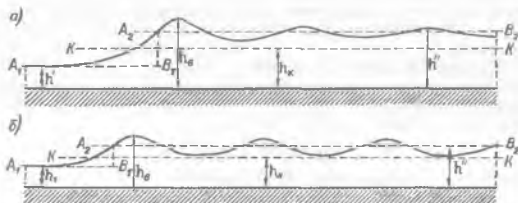


Рис. 8-5 Свободный волнистый прыжок в виде затухающих (а) и периодических (б) волн

сила внешнего трения T_{0x} становится соизмеримой с силой P_s , и поэтому в уравнении количества движения силой T_{0x} уже пренебрегать нельзя (что мы делали выше при выводе основного уравнения прыжка).

В связи со сказанным, найденное выше основное уравнение (8-7) может оказаться недостаточно точным при малой разности глубин h' и h'' , т.е. в случае, когда эти глубины близки к критической глубине. При этих условиях внешний вид свободного прыжка качественно изменяется. Следует считать, что описанный в предыдущих параграфах свободный прыжок, который может быть назван здесь совершенным, получается только в случае, когда

$$h' \leq 0,60 h_k \quad (8-34)$$

При больших величинах h' , а именно:

а) в случае

$$0,60 h_k < h' \leq 0,70 h_k \quad (8-35)$$

имеем так называемый несовершенный прыжок; здесь на поверхности прыжка получаем относительно небольшой валец, в связи с чем интенсивность турбулентности потока непосредственно за прыжком повышается не сильно;

б) в случае

$$0,70 h_k < h' \leq 0,85 h_k \quad (8-36)$$

имеем волнистый прыжок в виде затухающих волн (рис. 8-5, а); здесь валец вовсе отсутствует; высота первой волны получается примерно в 1,5 раза больше высоты гидравлического прыжка, определенной в соответствии с формулой (8-25); за упомянутой первой волной следуют небольшие волны,

затухающие на короткой длине, причем в конце этого ряда волн получаем глубину, близкую к глубине h' , вычисленной по формуле (8-25);¹

в) в случае

$$0,85 h_k < h' \leq h_k \quad (8-37)$$

имеем «прыжок» в виде периодических волн (рис. 8-5, б), т. е. некоторого цуга волн, затухающих на относительно большой длине.

Специальный анализ кривой прыжковой функции и кривой удельной энергии сечения (рис. 8-4) показывает, что имеется некоторая «околокритическая» область глубин h :

$$0,85 h_k \leq h \leq 1,15 h_k \quad (8-38)$$

при которой переход бурного движения в спокойное осуществляется практически без потерь напора (при помощи упомянутых периодических волн).²

Выше мы рассматривали горизонтальное русло. Явление гидравлического прыжка в русле с достаточно большим уклоном дна исследовалось рядом авторов. Можно привести следующие данные, относящиеся к этому случаю:

а) при $i > 0$ длина прыжка возрастает; эту длину при $i \leq 1/3$ можно определять по эмпирической формуле Г. Н. Косяковой (1949 г.):

$$l_n = l_n' (1 + 3i), \quad (8-39)$$

где l_n — искомая длина прыжка, измеренная по горизонтали; l_n' — длина прыжка, вычисленная для горизонтального русла при той же глубине h' ;

б) для прямоугольного наклонного русла, согласно Г. Н. Косяковой, величина h' может определяться по формуле:

$$h' = h' + a' + i l_n \quad (8-40)$$

где l_n — устанавливается по формуле (8-39); величина же a' — по зависимости:

$$a' = a_n (1 - 1,75i),$$

где a_n — высота прыжка, найденная для горизонтального русла при глубине h' .

В практике приходится сталкиваться с явлением прыжка, возникающего в пространственных условиях; в этих условиях мы можем получить так называемые косые прыжки, т. е. прыжки, фронт которых в плане не ортогонален к оси струи. В отличие от косых прыжков, описанные выше прыжки могут быть названы прямыми.

Встречаются случаи, так сказать, полубезнапорного прыжка, получающегося, например, в напорном туннеле за затвором, частично перекрывающим этот туннель; при наличии аэрационного канала за затвором (см. рис. 5-8) могут возникнуть условия, когда перед прыжком будет безнапорное движение, а непосредственно за прыжком — напорное.

Изучая поясненные выше гидравлические прыжки, интересуются не только длиной этих прыжков и сопряженными глубинами, но также вопросами о распределении скоростей в районе прыжка, пульсации скоростей и давлений, размывающей способности потока в пределах прыжка, аэрацией потока.

Надо в заключение подчеркнуть, что выше мы всюду имели в виду турбулентный режим; следует, однако, учитывать, что гидравлический прыжок может возникать при определенных условиях и в случае ламинарного режима.

¹ Здесь всюду имеем в виду прямоугольное русло.

² Пределы существования околокритической области, а также пределы существования «прыжков» различного вида нами были заимствованы из работ А. А. Турсунова, обобщившего имеющиеся экспериментальные данные.

§ 8-7. ФОРМЫ СВОБОДНОЙ ПОВЕРХНОСТИ ПОТОКА
ПРИ РЕЗКОМ ИЗМЕНЕНИИ УКЛОНА ДНА ЦИЛИНДРИЧЕСКОГО КАНАЛА

В этом параграфе обобщим данные, полученные в гл. 7, с данными о гидравлическом прыжке, кроме того, рассмотрим здесь более сложные случаи неравномерного движения — случаи, когда дно канала резко изменяет свой уклон. Представим на рис. 8-6, а, б цилиндрическое русло, имеющее в точке O «перелом» дна. Будем считать, что вдали от вертикали $W-W$, проходящей через точку O , на левом и правом участках русла имеет место равномерный режим, характеризуемый глубинами h_{01} (для левого участка русла) и h_{02} (для правого участка русла).

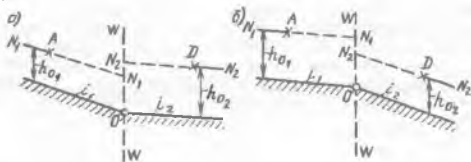


Рис. 8-6. Каналы с резким изменением уклона дна (в точке O)

Поставим себе целью выяснить, какие формы свободной поверхности могут иметь место в районе перелома дна, т. е. какой именно кривой должны сопрягаться точки A и D свободной поверхности (рис. 8-6).

При рассмотрении этой задачи можно различать разные случаи канала:

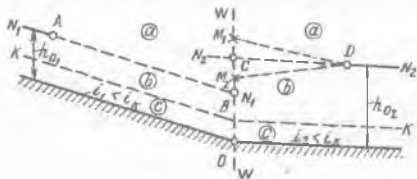


Рис. 8-7. К построению свободной поверхности в канале при отсутствии гидравлического прыжка

- 1) оба уклона дна канала (i_1 и i_2) меньше критического (возникновение гидравлического прыжка невозможно);
- 2) оба уклона (i_1 и i_2) больше критического (прыжок также невозможен);
- 3) $i_1 < i_k$; $i_2 > i_k$ (прыжок невозможен);
- 4) $i_1 > i_k$; $i_2 < i_k$; здесь свободная поверхность, поднимаясь по течению, должна пересекать линию $K-K$ (следовательно, в русле возникнет прыжок).

Г°. Случай, когда прыжок в русле отсутствует. Общий метод рассуждений, при помощи которого устанавливается возможная форма свободной поверхности, поясним на следующем примере (рис. 8-7):

1) обозначим через B и C точки пересечения вертикали $W-W$ с линиями нормальных глубин: N_1N_1 (для 1-го участка канала) и N_2N_2 (для 2-го участка канала);

2) обозначим через M точку пересечения искомой свободной поверхности с вертикалью $W-W$; эту точку назовем маркой M ;

3) далее рассматриваем возможные положения марки M на вертикали $W-W$; при этом в случае, показанном на рис. 8-7, рассуждаем так:

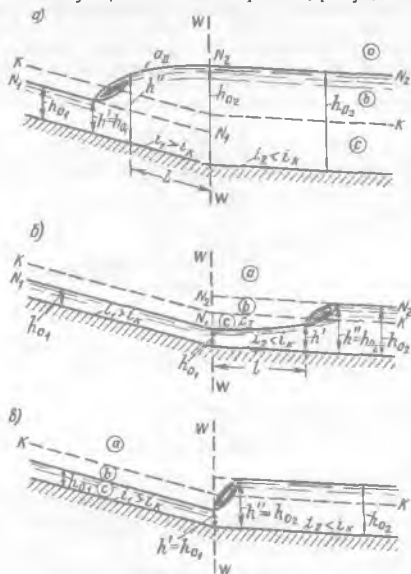


Рис. 8-8. К построению свободной поверхности в канале при наличии гидравлического прыжка

а) марка M не может располагаться выше точки C , так как при этом для правого участка русла в зоне a получаем кривую спада M_1D , что невозможно, — в зоне a может быть только кривая подпора;

б) марка M не может находиться ниже точки C , так как при этом для правого участка русла в зоне b получается кривая подпора M_2D , что также невозможно, — в зоне b может быть только кривая спада;

в) из сказанного заключаем, что единственным приемлемым положением марки M на вертикали $W-W$ (при котором мы получаем физически возможные формы свободной поверхности для правого и левого участков русла) является положение, когда марка M совпадает с точкой C ; при этом в пределах левого участка русла имеет место кривая подпора типа a_1 ; в пределах же правого участка русла на всем его протяжении существует равномерный режим.

Из приведенного примера дополнительно можно сделать следующий общий вывод (см. также § 7-6): в случае спокойного движения воды построение кривой свободной поверхности следует вести снизу вверх, т. е. идя против течения.

Если бы мы рассмотрели пример русла с большими уклонами ($i > i_k$), когда в русле имеется бурное движение воды, то пришли бы к прямо противоположному выводу (см. также § 7-6): *построение кривой свободной поверхности бурных потоков следует вести в направлении вниз по течению.*

2°. Случай, когда в русле имеет место гидравлический прыжок. В этом случае $i_1 > i_k$; $i_2 < i_k$; $h_{01} < h_k$; $h_{02} > h_k$.

Здесь бурное течение переходит в спокойное; свободная поверхность пересекает линию $K-K$, причем можем получить одну из трех схем свободной поверхности (рис. 8-8):

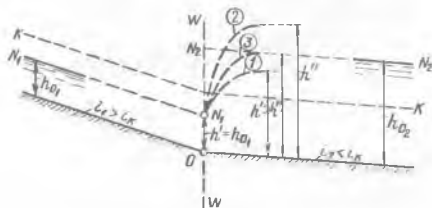


Рис. 8-9. К определению местоположения гидравлического прыжка в канале

- прыжок на 1-м участке русла (рис. 8-8, а);
- прыжок на 2-м участке русла (рис. 8-8, б);
- промежуточная схема — прыжок устанавливается в месте перелома дна (рис. 8-8, в).

Чтобы решить вопрос о том, какая из трех схем должна иметь место в данном конкретном случае, рассуждаем следующим образом (рис. 8-9).

1. Представляем себе, что на всей длине первого участка имеется равномерный режим, причем в сечении $W-W$ устанавливается глубина h_{01} .

2. Представляем себе далее, что в сечении $W-W$ образовался фиктивный гидравлический прыжок, имеющий сопряженные глубины $h' = h_{01}$ и h'' , причем фиктивную глубину h'' вычисляем по основному уравнению прыжка, зная h' . Три возможных варианта фиктивного прыжка показаны на рис. 8-9 жирной штриховой линией.

3. После этого руководствуемся следующими правилами:

а) если $h'' < h_{02}$, т. е. если фиктивный прыжок, представленный в сечении $W-W$, затопляется потоком 2-го участка канала (см. фиктивный прыжок 1), то действительный прыжок устанавливается на первом участке русла (рис. 8-8, а);

б) если $h'' > h_{02}$, т. е. глубина фиктивного прыжка (см. фиктивный прыжок 2) больше нормальной глубины второго участка русла, то уровень воды этого участка канала отгоняется от вертикали $W-W$, причем действительный прыжок устанавливается на втором участке (рис. 8-8, б);

в) если $h'' = h_{02}$, то ясно, что прыжок устанавливается в точке O (фиктивный прыжок 3 обращается в действительный); рис. 8-8, в.

4. В случае схем а и б находим длину l (см. рис. 8-8), которая определяет местоположение прыжка. Эту длину вычисляем, пользуясь уравнением неравномерного движения, как длину кривой подпора a_{11} (рис. 8-8, а) или длину кривой подпора c_1 (рис. 8-8, б). Здесь при использовании уравнения неравномерного движения нам, помимо заданной глубины h_{02} (8-8, а) или заданной глубины

h_{01} (рис. 8-8, б), надо еще знать глубину h'' или h' . Глубину h'' следует определять по основному уравнению прыжка, полагая $h' = h_{01}$ (рис. 8-8, а); глубину же h' (рис. 8-8, б) — по основному уравнению прыжка, полагая $h'' = h_{02}$.

В заключение обратим внимание, что приведенное выше решение вопроса относится только к случаю, когда вдали от вертикали $W-W$ имеет место равномерное движение (определяемое глубинами h_{01} и h_{02}). Более сложный случай, когда вдали от прыжка имеет место неравномерное движение, будет рассмотрен далее в § 14-4. Отметим, также, что схемы на рис. 8-8, б и в могут характеризоваться наличием в районе вертикали $W-W$ относительно больших центробежных сил инерции, действующих на воду. Эти силы нами не учитывались.

МАТЕРИАЛЫ ПРАКТИЧЕСКИХ ЗАНЯТИЙ ПО ПОСТРОЕНИЮ СХЕМ СВОБОДНЫХ ПОВЕРХНОСТЕЙ В ЦИЛИНДРИЧЕСКИХ РУСЛАХ

Пример 1. Для русла на рис. 8-10 представить принципиальную схему свободной поверхности

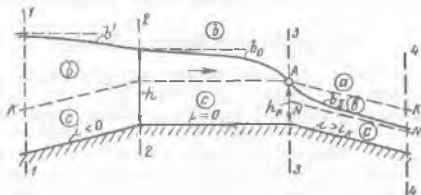


Рис. 8-10. К примеру 1

При построении такой схемы поступаем следующим образом:

1) проводим вспомогательные вертикали 1, 2, 3, 4. Эти вертикали выделяют отдельные участки русла, имеющие свои особые характеристики:

2) определяем местоположение критической глубины. Здесь надо запомнить правило: критическая глубина устанавливается в конце русла, имеющего уклон $i < i_k$; другими словами, глубина h_k устанавливается или в самом конце русла с уклоном $i < i_k$ (где русло обрывается и поток переходит в свободную ниспадающую струю), или в точке перелома дна, где уклон $i < i_k$ переходит в уклон $i \geq i_k$. Очевидно, в случае, представленном на рис. 8-10, критическая глубина h_k должна устанавливаться на вертикали 3-3;

3) получив точку А искомой свободной поверхности, определяемую критической глубиной, через эту точку проводим линию критической глубины $K-K$. После этого для участка русла, характеризующегося уклоном $i > i_k$, проводим линию $N-N$;

4) имея линии $N-N$ и $K-K$, отмечаем на чертеже наименование зон (а, б, в) возможного расположения участков свободной поверхности,

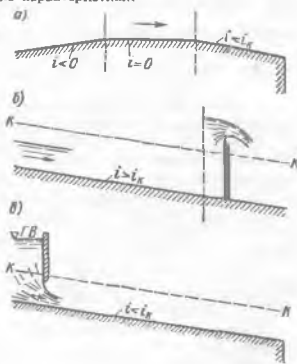


Рис. 8-11. К примеру 2

5) наконец, начиная от установленной выше точки *A*, проводим кривые свободной поверхности для отдельных участков заданного русла; при этом сообразуемся с возможными формами свободной поверхности для разных намеченных зон (*a*, *b*, *c*); см рис. 7-31, 7-34, 7-35.

Пример 2. Построить схемы свободных поверхностей для русел на рис. 8-11, *a*, *b*, *в*; для русла на рис. 8-11, *г* изобразить три различные возможные здесь схемы свободной поверхности (характеризующиеся наличием или отсутствием гидравлического прыжка)

СПИСОК ЛИТЕРАТУРЫ

- 8-1 Чергоусов М. Д. Гидравлика. Специальный курс — М.-Л., Госэнергоиздат, 1962
8-2 Чоу В. Т. Гидравлика открытых каналов. — М.: Стройиздат, 1969

ГЛАВА ДЕВЯТАЯ

НЕУСТАНОВИВШЕЕСЯ НАПОРНОЕ И БЕЗНАПОРНОЕ ДВИЖЕНИЯ ЖИДКОСТИ

§ 9-1. ПРЕДВАРИТЕЛЬНЫЕ УКАЗАНИЯ

Будем рассматривать неустановившееся плавно изменяющееся турбулентное движение жидкости, в частности воды. Напомним, что неустановившимся движением несжимаемой жидкости называется такое движение, при котором скорости в точках пространства, занятого жидкостью, изменяются во времени. В общем случае неустановившегося плавно изменяющегося движения несжимаемой жидкости средняя скорость *v* и расход *Q* во всех плоских живых сечениях рассматриваемого потока должны иметь отличные от нуля частные производные по времени:

$$\frac{\partial v}{\partial t} \neq 0; \quad \frac{\partial Q}{\partial t} \neq 0.$$

При установившемся плавно изменяющемся напорном движении несжимаемой жидкости в абсолютно жестком (недеформирующемся) русле во всех плоских живых сечениях потока $\frac{\partial v}{\partial t} = 0$; в случае сжимаемой жидкости к этому условию необходимо добавить второе: $\frac{\partial p}{\partial t} = 0$ или $\frac{\partial \rho}{\partial t} = 0$.

С неустановившимся движением воды часто приходится сталкиваться при проектировании гидростанций: при расчете трубопроводов, подводящих воду к турбинам (при закрытии турбин скорость движения воды и давление в трубах изменяются во времени), при расчете каналов, подводящих воду к гидростанции и отводящих воду от нее, и т. п. С неустановившимся движением встречаемся в практике и при расчете водопроводных сетей.

Наиболее простым (в отношении исследования) случаем неустановившегося движения жидкости является напорное неустановившееся движение жидкости, рассматриваемое с учетом следующих двух допущений:

первое допущение — стенки напорного трубопровода являются абсолютно жесткими (абсолютно не деформируются при изменении давления в трубопроводе);

второе допущение — жидкость, движущаяся в трубе (например, вода), является абсолютно несжимаемой.

Для такого простейшего случая имеем следующие условия движения жидкости: